



UNIVERSIDADE
ESTADUAL DE LONDRINA



Estabilidade de Nyquist

Aluno: David Maykon Krepsky Silva
Disciplina: Controle e Automação Industrial
Professor: Dr. Ruberlei Gaino

11 de dezembro de 2015

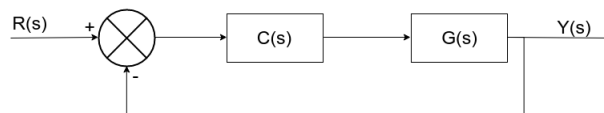
Exercício 1

Estude a estabilidade de Nyquist de:

$$G(s) = \frac{K}{s^2(s+1)}; \quad Z = P + N. \quad (1)$$

Após determinar o intervalo, determine um K estável. A seguir, projete um controle avanço de fase:

Figura 1: Controlador em malha fechada.



com $C(s) = K_c \left(\frac{s+Z_0}{s+P_0} \right)$ para $mp \leq 5\%$ e $t_s \leq 1$ s.

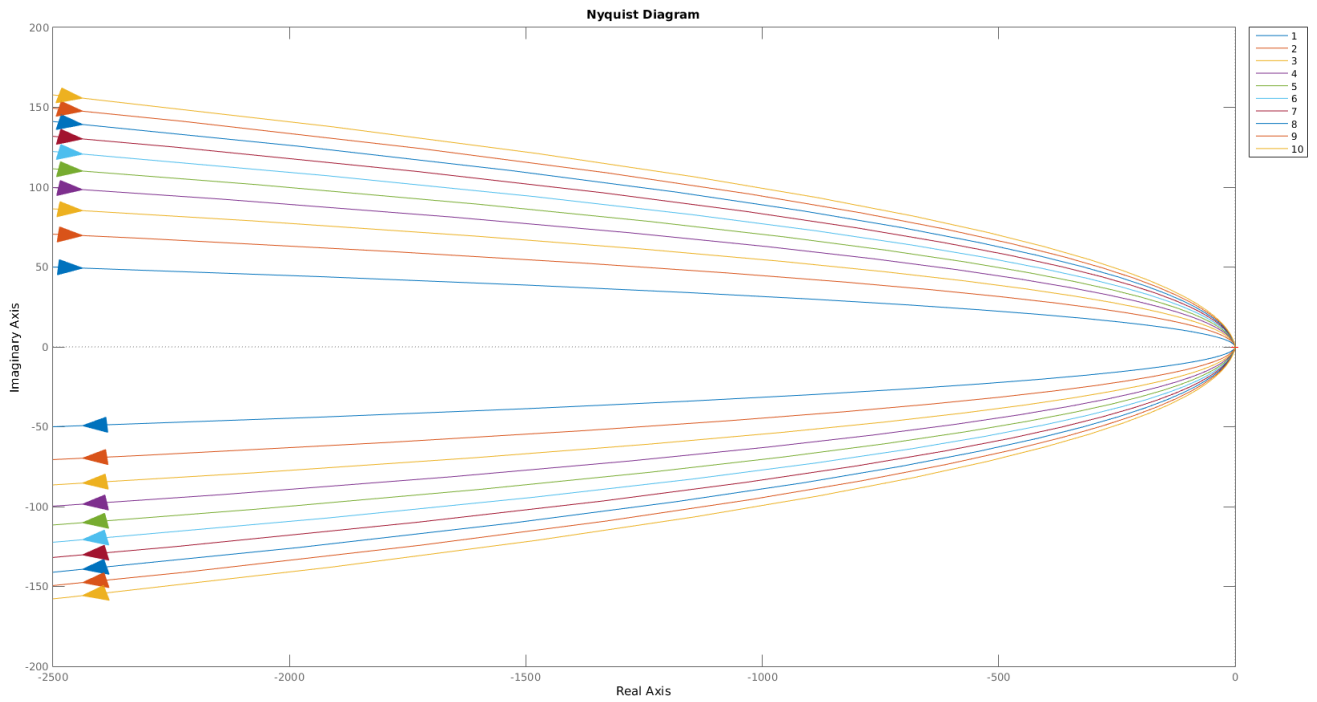
Análise da estabilidade

O sistema dado possui dois polos na origem, o que fará com que o diagrama de Nyquist possua dois círculos de raio infinito. O valor de K não interfere no deslocamento do gráfico, sendo assim, o sistema é instável para qualquer valor de K . O código 1 pode ser utilizado para verificar a variação no diagrama de Nyquist.

Código 1: Código para gerar o diagrama de Nyquist, variando K , com o MATLAB.

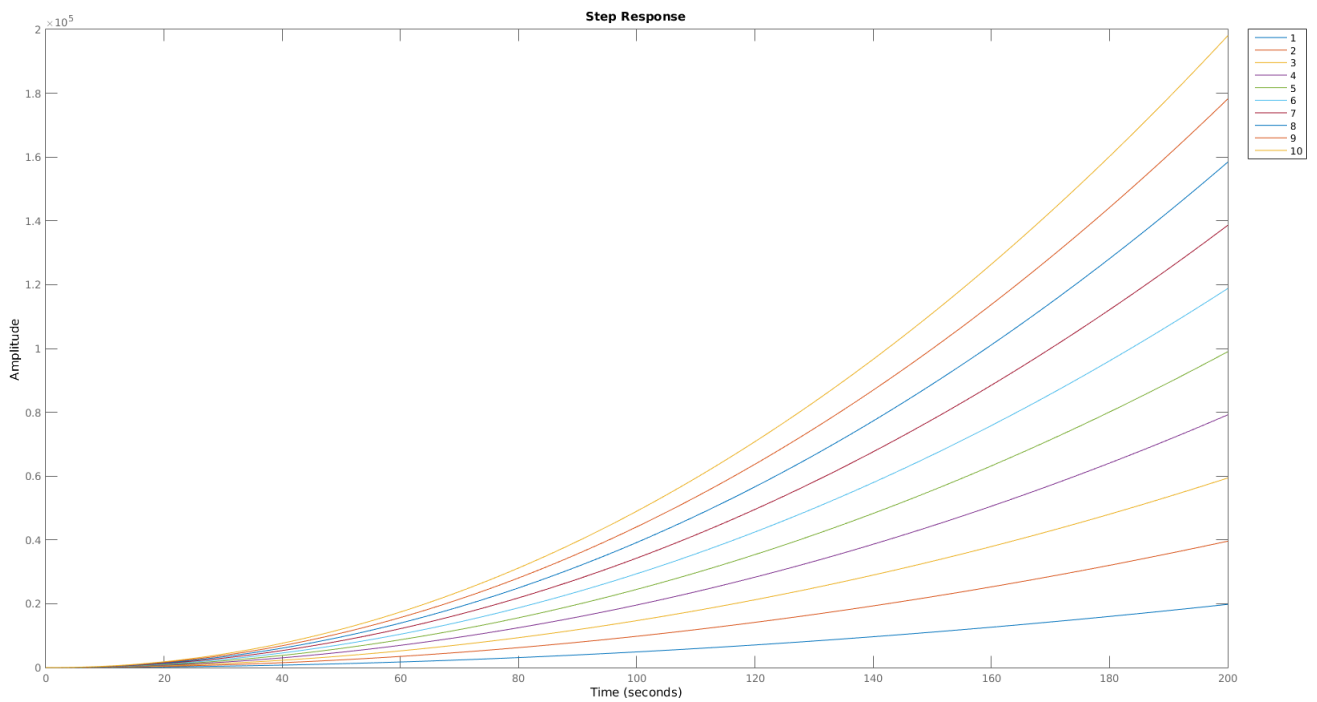
```
1 % Analise da estabilidade de G(s) variando K.
2 clear all
3 close all
4 clc
5
6 s = tf([1 0] , [1]);
7
8 % Vetor com os valores de K.
9 K = 1:1:10;
10
11 % Funcao de transferencia da planta.
12 G = 1/(s^2*(s+1));
13
14 % Diagramas de Nyquist para os diversos valores de K
15 hold on
16 for i=1:length(K)
17     nyquistplot(G*K(i));
18 end
19 legend('1', '2', '3', '4', '5', '6', '7', '8', '9', '10', ...
20 'Location', 'NorthEastOutside');
21
22 % Plota a resposta ao degrau do sistema para os valores de K
23 figure
24 hold on
25 for i=1:length(K)
26     step(G*K(i))
27 end
28 legend('1', '2', '3', '4', '5', '6', '7', '8', '9', '10', ...
29 'Location', 'NorthEastOutside');
```

Figura 2: Diagrama de Nyquist para $1 \leq K \leq 10$.



Como pode ser observado na figura 2 (gerada a partir do código 1), o valor de K não desloca o gráfico. Analisando a resposta ao degrau do sistema (figura 3), é possível observar o mesmo se mantém instável independente do valor de K .

Figura 3: Resposta ao degrau para $1 \leq K \leq 10$.



Projeto do controlador

Para $mp \leq 5\%$, $\zeta \geq 0,7$ e para $t_s \leq 1\text{ s}$, $\omega_n \geq 4$ (aproximação de 2%). Assim, os polos desejados são:

$$p = 6,3 \pm j6,3.$$

O ângulo é:

$$\theta = \tan^{-1} \left(\frac{6,3}{6,3} \right) \cong 45^\circ$$

A contribuição angular do controlador é:

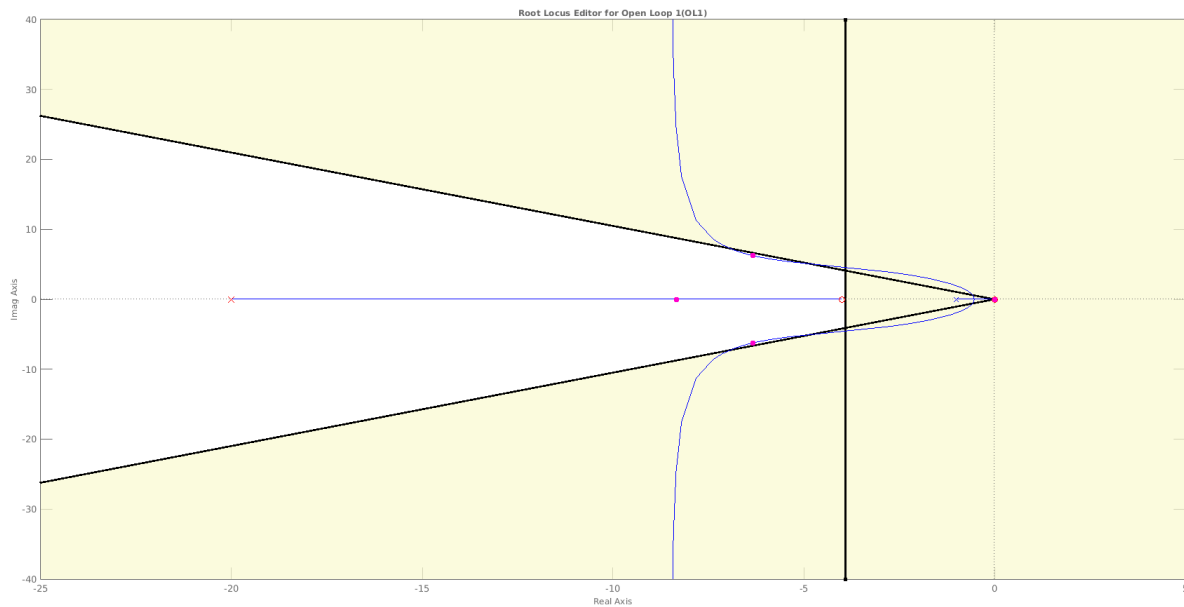
$$\beta = -180^\circ + 225^\circ = 45^\circ$$

Devemos também adicionar um zero na origem, para poder utilizar o controlador de avanço de fase, assim, o controlador será:

$$C(s) = K_c s \left(\frac{s+4}{s+20} \right)$$

O ganho K_c foi determinado com o uso do recurso *rctool* do matlab, sendo $K_c = 32.9$. A imagem 4 mostra o *root locus* do sistema, sendo que, a região em branco é a região que atende as especificações.

Figura 4: *Root Locus* para a planta $G(s)$ com o controlador $C(s)$.



Análise da estabilidade com o controlador

Para confirmar a estabilidade do sistema, a figura 5 mostra que o sistema a resposta do sistema ao impulso unitário tende a zero e a figura 6 mostra que o sistema é de fato estável para a entrada degrau.

Figura 5: Resposta ao impulso do sistema.

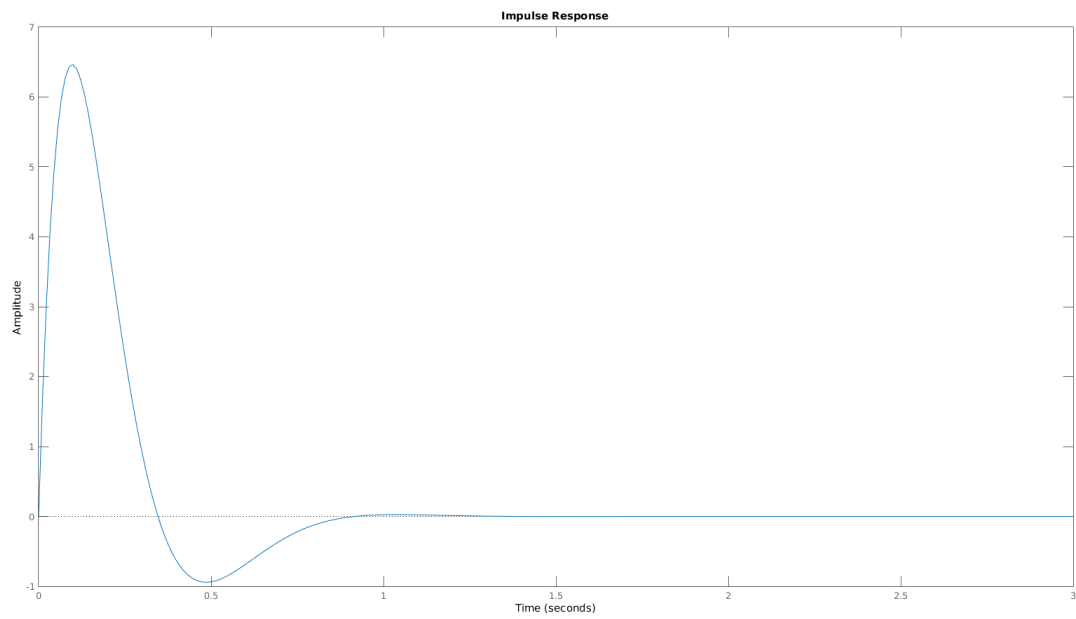
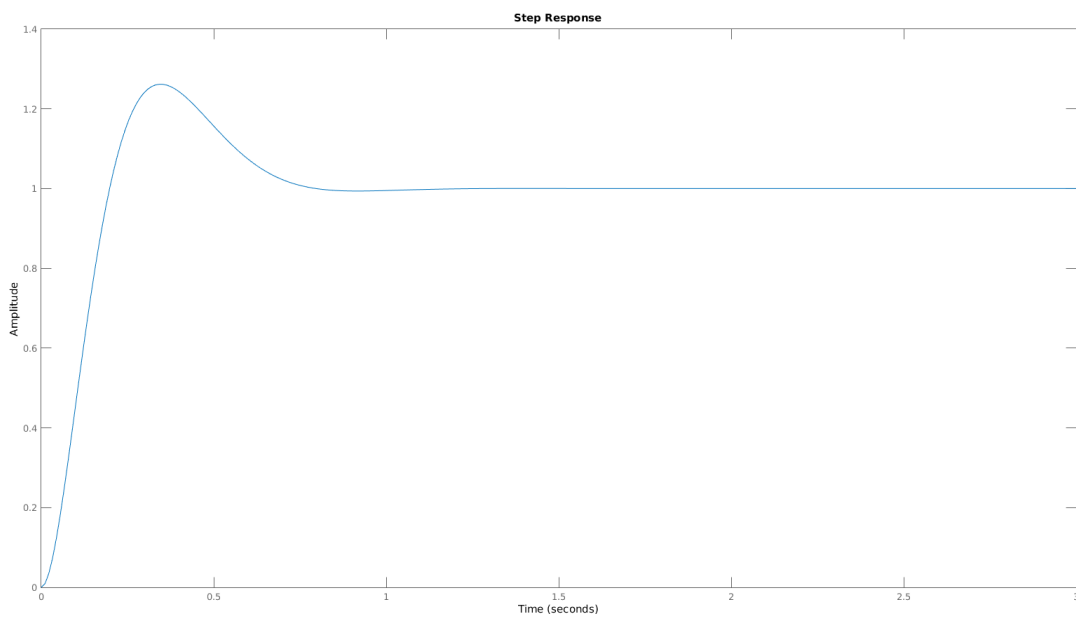


Figura 6: Resposta ao degrau do sistema.



Por ultimo, o diagrama de Nyquist, figura 7, também mostra que o sistema é estável.

Figura 7: Diagrama de Nyquist para o sistema.

